

# Bigravité, modèle bimétrique d'univers.

## 2 : Solution non-linéaires exactes et effets de lentille gravitationnelle, positif et négatif.

Jean-Pierre Petit et Gilles d'Agostini

CITV Août 2007

### Résumé :

Après avoir rappelé les bases du modèle d'univers bimétrique on construit une solution non-linéaire exacte, démontrant par le fait l'existence de solutions du système des deux équations de champ couplées. On montre que cette solution débouche sur le concept d'*effet de lentille gravitationnelle négatif*, qui avait été introduit et entièrement décrit dans un papier publié en 1995 dans la revue *Astrophysics and Space Science* (référence [10]). On rappelle que cet effet permet d'interpréter les faibles magnitudes de galaxies à fort redshift, considérées classiquement comme des galaxies naines.

### 1 – Introduction

Dans un papier précédent [12] nous avons évoqué le concept de métriques conjuguées, que nous allons rappeler brièvement. Donnons-nous une variété pseudo-riemannienne quadridimensionnelle dotée d'une signature (+ - - -). Soit  $T$  une densité tensorielle définie sur cette variété et soit  $S^+$  le tenseur d'Einstein, gradient de la fonctionnelle de Hilbert définie dans l'espace des métriques selon :

(1)

$$H^+(g) = \int_M a R^+(g) dV_g$$

où  $R^+$  représente la courbure scalaire. Nous pouvons écrire l'équation d'Einstein, à constante cosmologique nulle :

(2)

$$S^+ = \chi T$$

Dont la solution est une métrique que nous nommerons  $g^+$ . Nous appelons  $g^-$  la solution métrique conjuguée, solution de l'équation :

(3)

$$S^- = -\chi T$$

Nous avons donc un système de deux équations de champ, couplées.

## 2 – Solution exacte sous forme de métriques conjuguées.

Construisons une solution de ce système, que nous supposons stationnaire. Nous allons particulariser la densité tensorielle  $T$  en lui faisant décrire une région de l'espace où la densité de matière  $\rho^+$  est constante à l'intérieur d'une sphère de rayon  $r_0$ . Une solution de (2) est alors ce qu'on appelle la métrique de Schwarzschild intérieure :

(4)

$$ds^2 = \frac{(1 - \frac{r_0^2}{\hat{R}^2})^{3/2}}{\sqrt{1 - \frac{r^2}{\hat{R}^2}}} c^2 dt^2 - \frac{dr^2}{1 - \frac{r^2}{\hat{R}^2}} - r^2 (d\theta^2 + \sin^2\theta d\phi^2)$$

$$\text{for } r \leq r_0 \quad \hat{R}^2 = \frac{3c^2}{8\pi G\rho^+}$$

Les particules dotées de masse positive ou les particules de masse nulle, d'énergie positive, suivront les géodésiques construites à partir de cette métrique, à condition toutefois que celles-ci n'interagissent pas avec la matière de masse positive contenue dans cette sphère de rayon  $r_0$ . Cela pourra être le cas si ces particules sont des neutrinos, dont on sait qu'ils interagissent très faiblement avec la matière.

Si on reprend tous ces calculs par le menu, dans l'espoir de construire une solution de l'équation (3) on s'aperçoit que c'est la même expression, où on change  $\rho^+$  en  $-\rho^+$ . Et nous écrivons la métrique intérieure correspondant à l'espèce d'énergie négative :

(5)

$$ds^2 = \frac{(1 + \frac{r_0^2}{\hat{R}^2})^{3/2}}{\sqrt{1 + \frac{r^2}{\hat{R}^2}}} c^2 dt^2 - \frac{dr^2}{1 + \frac{r^2}{\hat{R}^2}} - r^2 (d\theta^2 + \sin^2\theta d\phi^2)$$

$$\text{for } r \leq r_0 \quad \hat{R}^2 = \frac{3c^2}{8\pi G\rho^+}$$

Imaginons maintenant que cette sphère de rayon  $r_0$ , contenant de la matière de masse positive soit entourée par un milieu extrêmement raréfié. Nous n'emploierons pas le mot « vide » *car en astrophysique le vide parfait n'existe pas*. Par vide parfait on aurait tendance à imaginer une partie de l'espace où on ne trouverait aucune particule matérielle. Dans les parties les plus raréfiées de notre cosmos (observable) la densité de matière est de  $10^{-30}$  gramme par centimètre cube. La masse du proton étant  $1,67 \cdot 10^{-30}$  gramme on voit que dans un tel vide on trouverait une particule de matière par centimètre cube. Si on envisageait d'attribuer une « taille » aux protons, selon la longueur d'onde de Compton

$$\lambda_c = \frac{h}{m c}$$

le proton nous semblerait bien petit. Donc une telle région de l'espace contiendrait « des protons, des électrons, avec beaucoup de vide entre ». Quand bien même on parviendrait à éliminer ce résidu infime il resterait les photons constituant un *corps noir*. Dans ce milieu les photons sont « à touche-touche ». Bien sûr, ils cheminent à la vitesse de la lumière, mais, si on les assimile à des plissements de l'espace, ça n'est plat nulle part. *Pour que l'univers soit totalement vide, qu'il n'y ait pas de photons, il faudrait que l'univers soit un corps noir à température nulle.* Or actuellement, le fond de rayonnement cosmologique constitue un corps noir à 2,7 ° K.

Ainsi, au sens strict, l'équation à second membre nul :

(6)

$$S = 0$$

D'où on tire, classiquement, la « solution de Schwarzschild extérieure » *n'a pas de sens physique. Ca n'est qu'une expression approchée.* A l'extérieure de cette sphère de rayon  $r_0$  les solution du système :

(7)

$$S^+ \cong 0$$

(8)

$$S^- \cong 0$$

sont :

(9)

$$ds^2 = \left(1 - \frac{2GM}{c^2 r}\right) c^2 dt^2 - \frac{dr^2}{1 - \frac{2GM}{c^2 r}} - r^2 (d\theta^2 + \sin^2 \theta d\varphi^2)$$

(10)

$$ds^2 = \left(1 + \frac{2GM}{c^2 r}\right) c^2 dt^2 - \frac{dr^2}{1 + \frac{2GM}{c^2 r}} - r^2 (d\theta^2 + \sin^2 \theta d\varphi^2)$$

où  $M$  représente la quantité de matière contenue dans la sphère de rayon  $r_0$ . En tenant compte de cela les géodésiques se raccordent parfaitement. Il y a deux familles distinctes :

- Les géodésiques issues de la métrique  $g^+$ , intérieure, puis extérieure qui sont les chemins empruntés par les particules de masse et d'énergie positives ( et par les photons de masse nulle mais d'énergie positive )

- Les géodésiques issues de la métrique  $g^-$ , intérieure, puis extérieure qui sont les chemins empruntés par les particules de masse et d'énergie négatives ( et par les photons de masse nulle mais d'énergie négative )

On peut intégrer et calculer les trajets suivis par les particules et photons des deux systèmes. Pour les particules de masse positive on obtient ceci

(11)

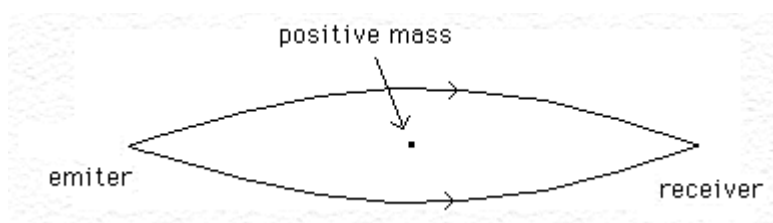
$$\phi = \phi_0 + \int_{u_0}^u \frac{du}{\sqrt{\frac{c^2 l^2 - 1}{h^2} + \frac{2GM}{h^2} u - u^2 + 2GMu^3}}$$

Formule classique, où  $u$  est l'inverse de la distance radiale,  $\phi$  l'angle polaire,  $l$  et  $h$  des paramètres liés à l'énergie cinétique initiale et au moment angulaire. En approximation newtonienne on retrouve les trajectoires képlériennes. Pour les photons à énergie positive nous avons (également une formule classique) :

(12)

$$\phi = \phi_0 + \int_{u_0}^u \frac{du}{\sqrt{\frac{c^2 l^2}{h^2} - u^2 + 2GMu^3}}$$

qui nous donnent en particulier l'effet de lentille gravitationnelle ( positif ) :



### Trajectoires de photons à énergie positive, déviées par une masse positive M

Avec la métrique  $g^-$  nous pouvons calculer les trajectoires des particules de masses négatives et des photons d'énergie négative. Les formules deviennent, pour les particules de masse négative :

(13)

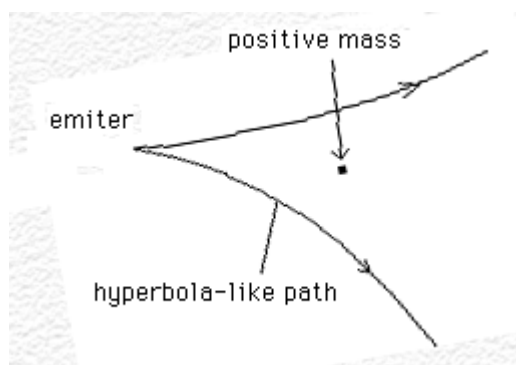
$$\phi = \phi_0 + \int_{u_0}^u \frac{du}{\sqrt{\frac{c^2 l^2 - 1}{h^2} - \frac{2GM}{h^2} u - u^2 - 2GMu^3}}$$

pour les photons d'énergie négative :

(14)

$$\phi = \phi_0 + \int_{u_0}^u \frac{du}{\sqrt{\frac{c^2 l^2}{h^2} - u^2 - 2GMu^3}}$$

Une masse  $M$ , positive, se comporte donc comme un objet répulsif pour des particules dotées d'une masse, et d'une énergie négatives. Elle crée également un effet de lentille gravitationnelle négatif (negative lensing), présenté en 1995 dans la référence [9].



### Trajectoires de photons à énergie négative, déviées par une masse positive $M$

### 3 – Géodésiques au voisinage d'une masse négative

Le problème est totalement symétrique. Imaginons une région de l'espace extrêmement raréfiée, si on excepte une sphère de rayon  $r_0$  emplie de matière à masse négative. On a vu dans le papier précédent que celle-ci était auto-attractrice. Elle peut donc former des conglomérats de masse  $M$ , et nous pouvons imaginer ceux-ci comme emplis de masse négative de densité  $\rho^-$  constante. Par convention nous avons décidé de représenter ainsi la valeur absolue de cette masse volumique de cette masse négative. Nous aurons donc pour la métrique intérieure  $g^+$  :

(14)

$$ds^2 = \frac{(1 + \frac{r_0^2}{\hat{R}^2})^{3/2}}{\sqrt{1 + \frac{r^2}{\hat{R}^2}}} c^2 dt^2 - \frac{dr^2}{1 + \frac{r^2}{\hat{R}^2}} - r^2 (d\theta^2 + \sin^2\theta d\phi^2)$$

for  $r \leq r_0$        $\hat{R}^2 = \frac{3c^2}{8\pi G\rho^+}$

Pour la métrique intérieure de la métrique  $g^-$  :

(15)

$$ds^2 = \frac{\left(1 - \frac{r_0^2}{\hat{R}^2}\right)^{3/2}}{\sqrt{1 - \frac{r^2}{\hat{R}^2}}} c^2 dt^2 - \frac{dr^2}{1 - \frac{r^2}{\hat{R}^2}} - r^2 (d\theta^2 + \sin^2\theta d\phi^2)$$

for  $r \leq r_0$        $\hat{R}^2 = \frac{3c^2}{8\pi G\rho^+}$

Et pour les métriques extérieures :

- De l'espèce à énergie positive :

(16)

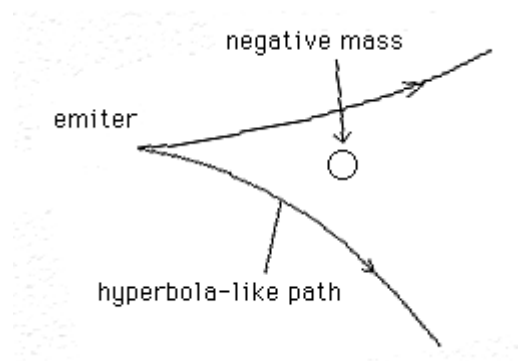
$$ds^2 = \left(1 + \frac{2GM}{c^2 r}\right) c^2 dt^2 - \frac{dr^2}{1 + \frac{2GM}{c^2 r}} - r^2 (d\theta^2 + \sin^2\theta d\phi^2)$$

- De l'espèce à énergie négative :

(18)

$$ds^2 = \left(1 - \frac{2GM}{c^2 r}\right) c^2 dt^2 - \frac{dr^2}{1 - \frac{2GM}{c^2 r}} - r^2 (d\theta^2 + \sin^2\theta d\phi^2)$$

Ce qui nous intéresse c'est qu'une concentration de masse et d'énergie négatives, si on en trouve dans le cosmos, produira sur les objets de l'arrière plan un effet de lentille gravitationnelle négative :



### Trajectoires de photons d'énergie positive déviés par une masse négative

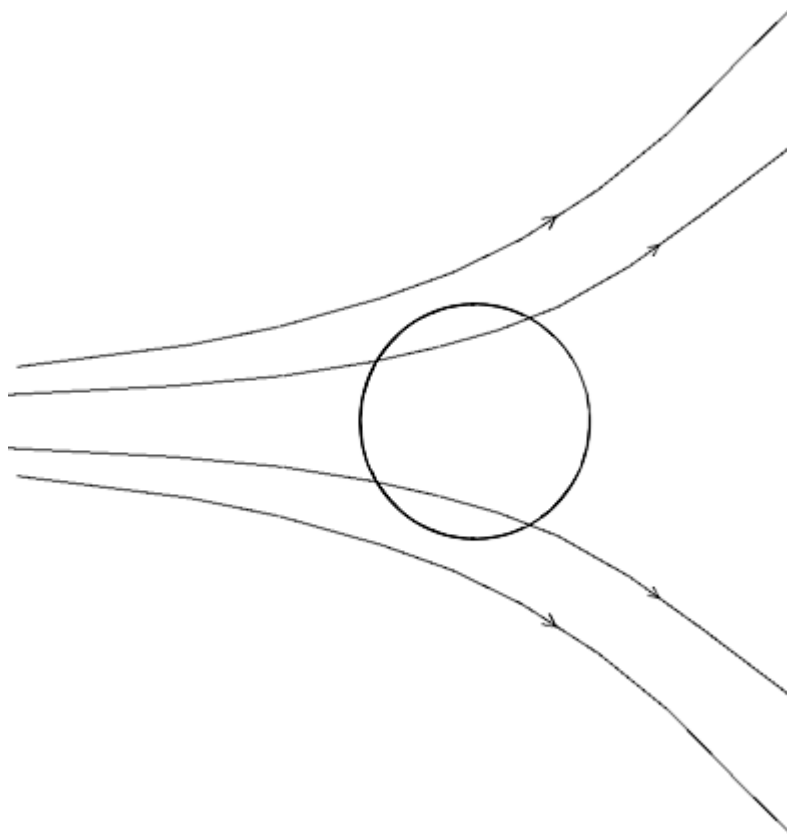
**Nota bene** : La matière à masse et énergie négative est auto-attractive. Ses particules peuvent interagir les unes avec les autres exactement comme celles qui possèdent des masses et des énergies négatives. Entendez par là : par interaction électromagnétique, en pratiquant un échange de photons virtuels d'énergie négative, et par interaction forte ou faible. *Le monde des particules de masses et d'énergie négatives est totalement symétrique du nôtre du point de vue de la façon dont ses éléments sont susceptibles d'interagir entre eux.* Mais comme montré dans

l'article précédent *les structures qu'il contient sont différentes. Il n'abrite ni étoiles, ni atomes lourds, no forme de vie, comme cela sera discuté dans un autre article.* Ce n'est que par un choix arbitraire que nous décidons que ces masses-là sont négatives. S'il existait, dans ce monde des masses et des énergie négatives des observateurs, dotés d'organes sensoriels et d'instruments de mesure composés eux-mêmes de particules possédant des masses et des énergies négatives ils détecteraient des effets similaire, via *des effets de lentille gravitationnelle inverse*. Le dessin qui se trouve ci-dessus correspond, fondamentalement, à l'interaction gravitationnelle entre deux objets de masses et d'énergies dotées des signes opposés.

Le schéma serait exactement le même, que l'on considère :

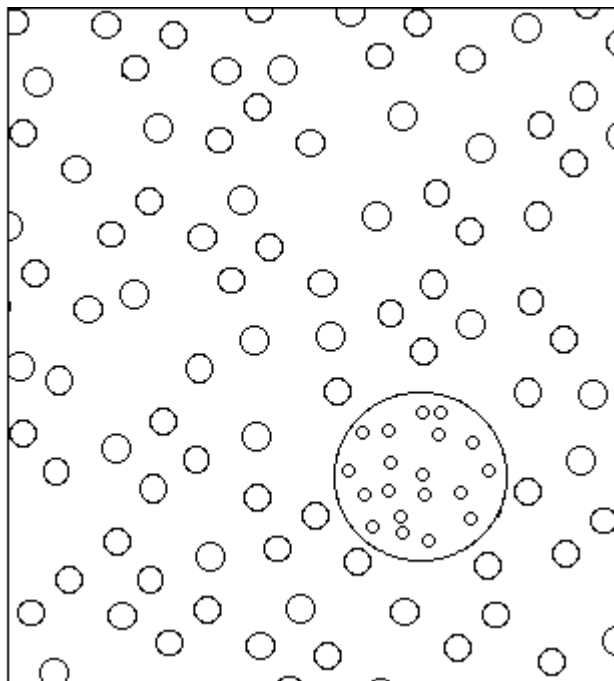
- la déflexion d'une particule de masse positive ( ou d'un photon d'énergie positive ) par un conglomérat de masses négatives
- la déflexion d'une particule de masse négative ( ou d'un photon d'énergie négative ) par un conglomérat de masses positives.

*L'interaction ne se situerait qu'au plan gravitationnel.* L'objet incident ( particule à masse non-nulle ou photon ) pourrait alors traverser sans encombre l'objet défecteur, d'énergie et de masse opposées et nous pouvons faire de dessin :



**Altération des trajectoires de photons avec un conglomérat constitué de particules d'énergie opposée.**

Ce phénomène réduit la magnitude apparente d'objets situés sur l'arrière plan, exactement comme le ferait une lentille divergente.



**Altération de l'image d'objets situés à l'arrière-plan, à très fort redshift dû à l'effet de lentille gravitationnelle négatif créé par un conglomerat de masse négative, situé à l'avant-plan.**

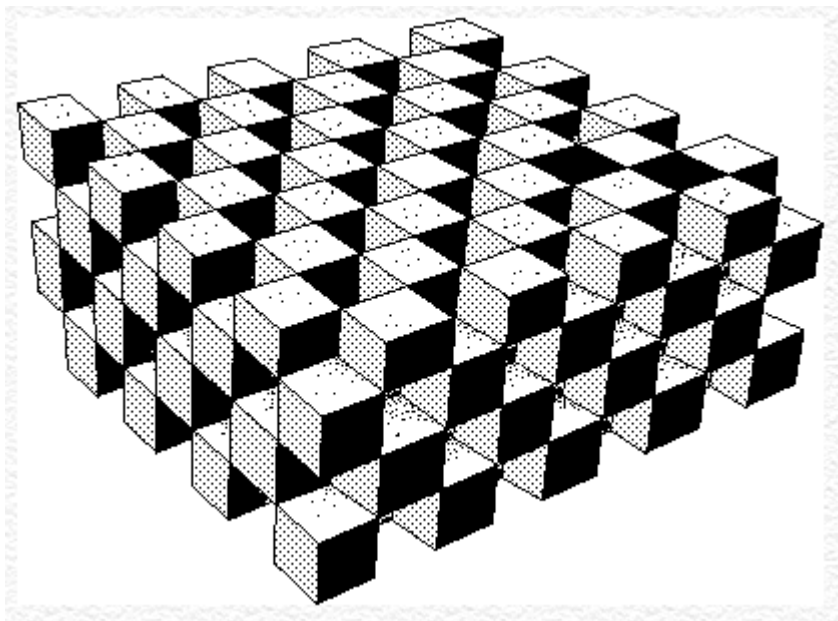
De tels phénomènes *sont observés*. Les galaxies les plus lointaines sont perçues comme « naines ». En fait, leur magnitude se trouve réduite à cause de la présence de conglomerats de masses négatives, sur le parcours des rayons lumineux.

**4) De la difficulté de se représenter mentalement un univers bimétrique**

On peut évidemment décider de se passer de toute représentation mentale et accepter de ne percevoir l'univers qu'à travers un jeu de métriques et d'équations. Il y a différentes façons d'imaginer un monde peuplé de deux types de matières, qui ne pourraient se percevoir optiquement. Vous connaissez le jeu de dames. On ne se sert que des cases noires. La moitié du damier se trouve donc inemployé. On pourrait très bien imaginer que deux autres joueurs livrent une partie parallèle en jouant sur les cases blanches. Imaginez un club qui se consacre au jeu de dames et où dans une salle se dispute les parties du « simple-hommes », et « simple-dames ». Le manque de place fait que la direction du club décide que les championnats auront lieu dans la même salle, les hommes jouant sur les cases noires et les dames sur les cases blanches. Pour éviter que ces joueurs soient troublés on décide même de les équiper de verres à filtres polarisants, en éclairant les pièces, selon les parties, avec un éclairage de lumière polarisée de telle manière que les joueurs ne puissent voir que les pièces de leur propre partie, en ignorant ce qui se joue sans la « partie perpendiculaire ».

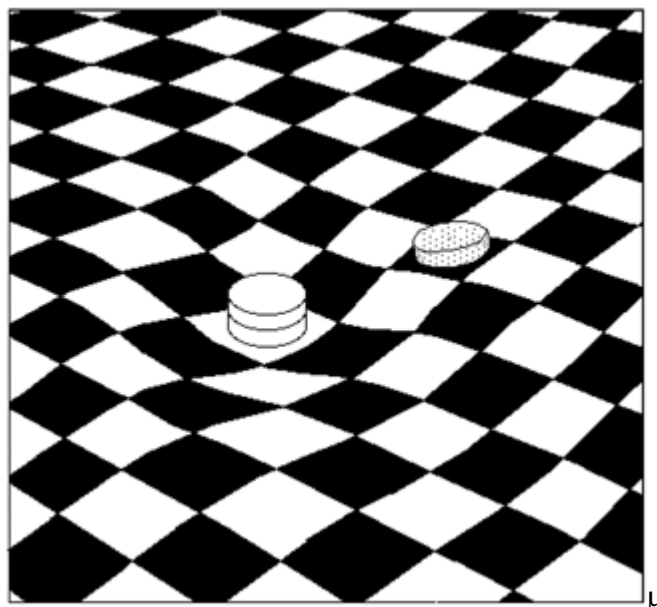


En poussant les choses encore plus loin on pourrait même imaginer un « jeu de dames en 3 dimensions » avec des « cubes noirs » et des « cubes blancs » :



**Jeu de dames en 3d**

Dans un livre paru en 1997, aux éditions Albin Michel : « On a perdu la moitié de l'univers » j'avais même essayé de suggérer une image où des joueurs, jouant sur un « damier mou, élastique » pourraient percevoir la présence des pièces de l'autre partie, sans les voir.



**La « damier mou »**

Cela serait une façon de suggérer la contribution au champ gravitationnel d'une « matière sombre ». Mais ça ne résout pas le problème *des deux métriques*. Comme nous l'avons vu, si on considère deux points A et B, fixes dans l'espace (comobiles), on a deux mesures différentes de la distance AB selon la métrique que l'on utilise. Il est impossible de proposer une image

mentale avec un unique support spatial. La seule solution est d'envisager trois surfaces. La première est un plan, c'est l'univers euclidien qui est notre représentation mentale intuitive. Nous sommes dans une vision totalement platonicienne, en plein mythe de la caverne. Nous sommes contraint d'adopter ce point de vue sur les choses. En effet, pour toute configuration cosmique il y aurait toujours deux « patterns » d'univers :

- *La perception qui serait celle d'un observateur constitué de matière d'énergie positive*
- *La perception qui serait celle d'un observateur constitué de matière d'énergie négative*

Les perceptions des longueurs sont différentes (mais il n'est pas impossible qu'il en soit de même pour le temps). Nous sommes, comme les habitants de la grotte de Platon, observant les « ombres euclidiennes » de phénomènes qui s'inscrivent dans deux hypersurfaces structurées, la première avec la métrique  $g^+$  et la seconde avec la métrique  $g^-$ .

Considérons donc un univers dont la « bi-géométrie » est déterminée par les contenus en

- Energie-matière à valeur positive, correspondant au tenseur  $T^+$
- Energie-matière à valeur négative, correspondant au tenseur  $T^-$

Selon le système d'équations de champ couplées : ( - )

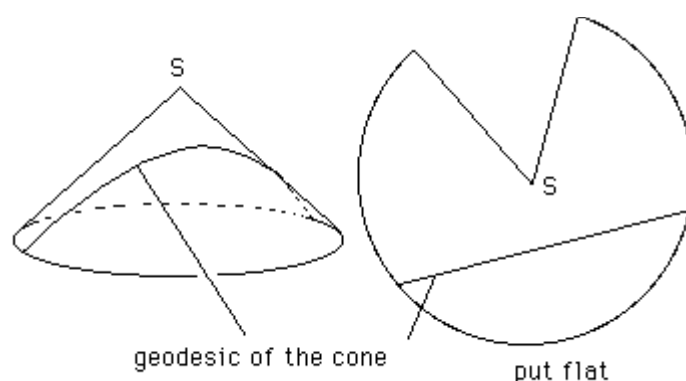
(19)

$$S^+ = \chi ( T^+ - T^- )$$

$$S^- = \chi ( T^- - T^+ )$$

Les courbures scalaires  $R^+$  et  $R^-$  sont *opposées*. C'est l'essence même de ces *géométries conjuguées*, de ces *métriques conjuguées* et cela va nous permettre de proposer un modèle didactique qui aurait l'avantage de fournir une image mentale.

On sait comment fabriquer un cône, en pratiquant une découpe d'angle  $\theta$  dans un disque et en recollant ces deux bords. On verra plus loin pourquoi on décide d'appeler cet objet un *posicône*.



### Posicône

Si on trace un triangle à l'aide de géodésiques, soit ce triangle ne contiendra pas le sommet  $S$ . Alors la somme de ses angles au sommet vaudra  $\pi$  ; soit ce sommet sera à l'intérieur du

triangle et cette somme vaudra  $\pi + \theta$ ; la somme euclidienne sera accrue de l'angle de découpe qui a permis de créer ce cône. On dira que le sommet  $S$  est *un point de courbure concentrée*. On peut d'ailleurs *émousser* ce cône, c'est-à-dire distribuer cette courbure selon une calotte sphérique. Un chaudronnier qui souhaiterait fabriquer une cône émoussé en disposant de deux objets :

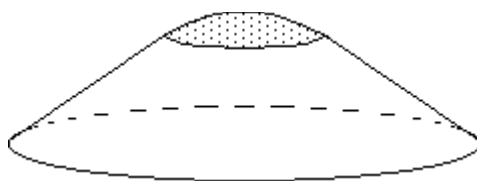
- Un cône en tôle, correspondant à une courbure concentrée  $\theta$
- Une sphère

Pourrait-on s'arranger pour qu'il n'y ait nulle cassure dans les géodésiques, nulle rupture dans le plan tangent. Il lui faut savoir que la courbure totale contenue dans une sphère  $S_2$  est  $4\pi$ . Il va donc commencer par scier une calotte sphérique en faisant en sorte que celle-ci contienne une courbure angulaire équivalente. Cette calotte aura une aire égale à :

(20)

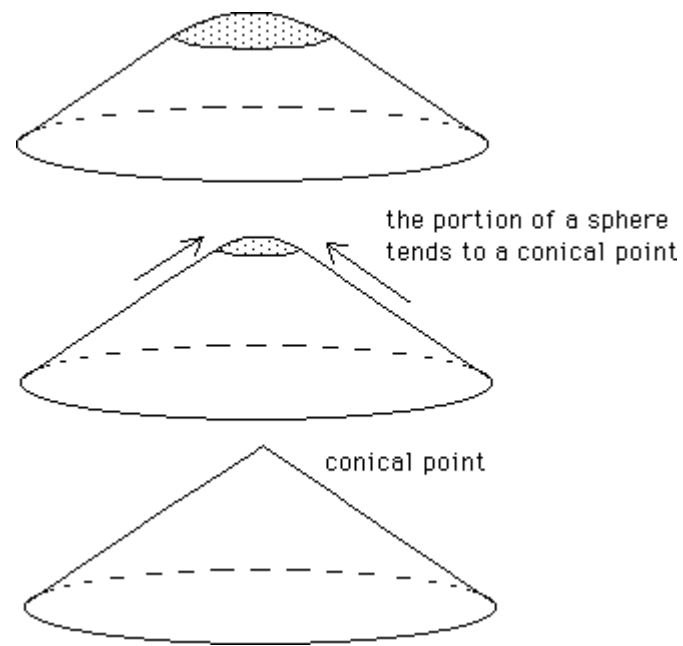
$$4\pi R^2 \frac{\theta}{4\pi} \text{ soit } R^2 \theta$$

l'angle  $\theta$  étant évidemment exprimé en radians. A partir de là l'artisan peut mesurer le périmètre de sa calotte, surface à bord, et effectuer une découpe dans son posicône pour finaliser l'objet.



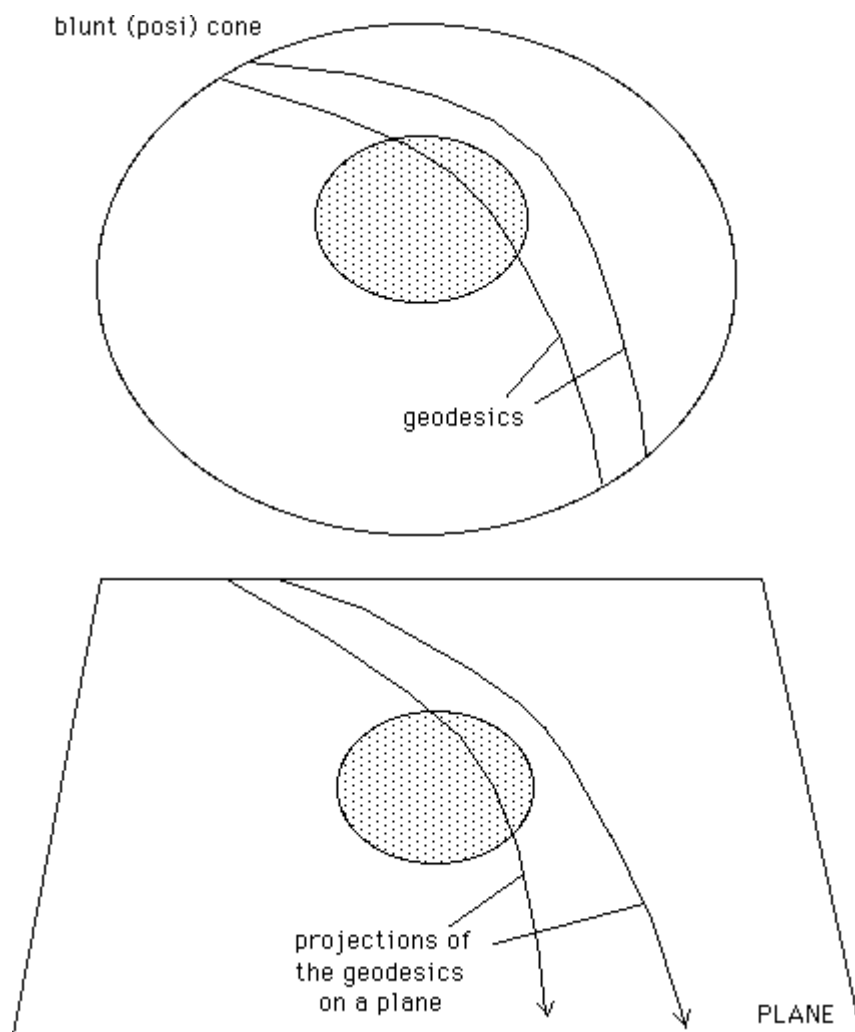
**Posicône émoussé**

Nous avons construit une surface où le tronc de cône est à courbure nulle et la calotte sphérique à courbure positive constante. Au passage les dessins ci-après évoquent le passage du cône émoussé au cône vrai, avec point de courbure concentrée :



### **Concept de point de courbure positive concentrée**

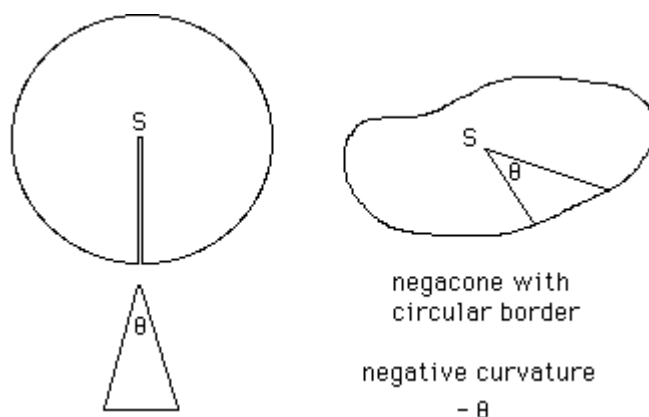
Au passage, introduisons notre espace de représentation, notre univers mental, euclidien, la « grotte » sur laquelle nous nous représentons cette première famille d'objets identifiés par leurs trajectoires :



**Image didactique de la déflexion des trajectoires d'objets de masse positive par un objet (grisé) constitué également de masse positive, de densité constante. La trajectoire qui traverse cette masse serait alors celle d'un neutrino.**

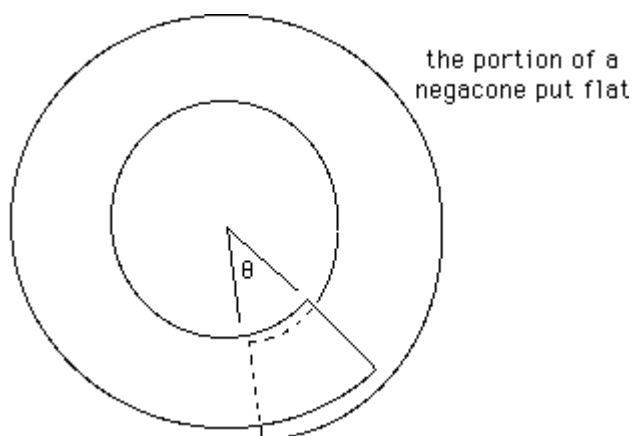
Pouvons-nous maintenant construire une surface conjuguée, offrant, point par point, des courbures opposées ?

Commençons par fabriquer un négacône dont le sommet sera un *point de courbure concentrée négative*.



### Négacône : on insère un secteur d'angle $\theta$

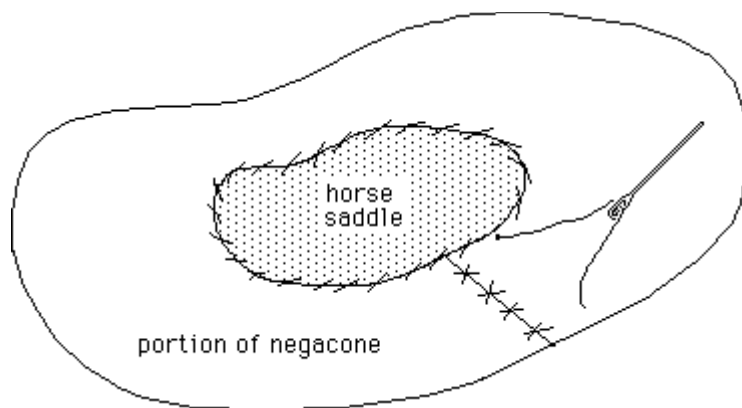
Quand on avait un posicône il était facile d'envisager de prélever un tronc de posicône en effectuant une découpe selon une ligne de points équidistants du sommet. On pourra faire exactement la même opération avec un négacône. Ci-après un tronc de négacône mis à plat.



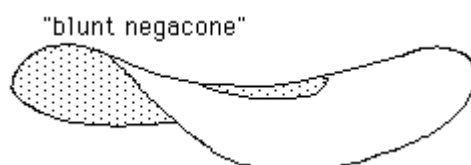
### Tronc de négacône, mis à plat

Le négacône est un objet relativement déconcertant, même quand on l'a entre les mains. Il n'est pas inutile, même pour un géomètre aguerri, d'en construire un et de le manipuler.

Le *négacône émoussé* sera fabriqué en recollant une selle de cheval sur ce tronc de négacône.



**Couture du tronc de négacône sur la selle de cheval**



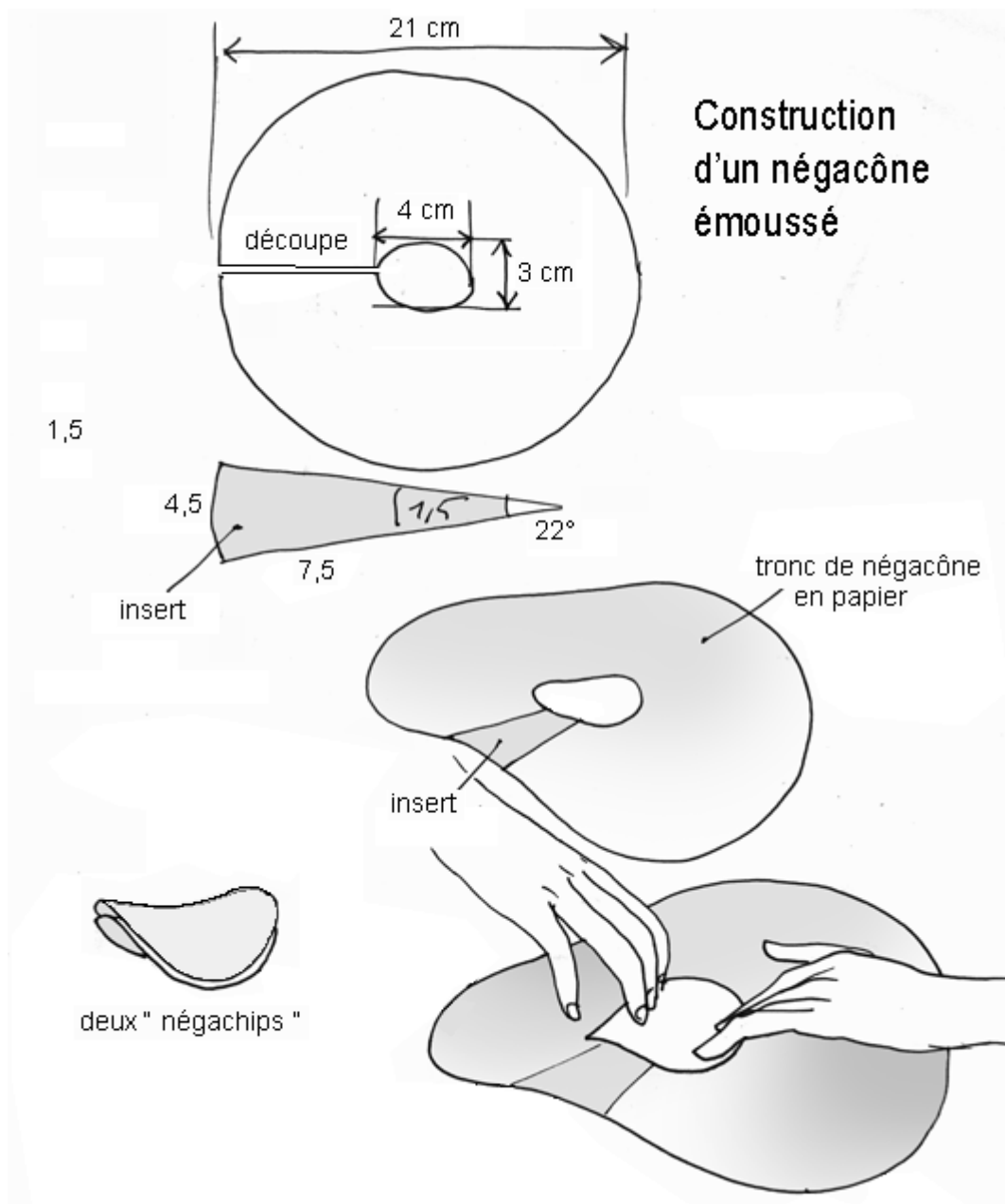
**Le négacône émoussé**

Il existe dans le domaine alimentaire des petits éléments de surface à courbure négative : les « négachips » qu'on peut acheter dans tous les supermarchés.



**« négachips »**

Comment effectuer une mesure de la quantité de courbure négative contenue dans un de ces négachips ? Il faut fixer sur celui-ci, au niveau de son bord circulaire un tronc de négacône en s'efforçant, du mieux possible, de conserver la continuité du plan tangent.



Comme je n'ai pas pu trouver la moindre colle qui permette de fixer du papier sur un objet aussi gras que ces mini-frites à courbure négative, je suggérerai à l'expérimentateur de coincer, tant bien que mal, le tronc de négacône en papier entre deux « négachips », en utilisant deux paires de mains. Accessoirement le designer de cette mini-négafrite ( seul objet à courbure négative que nous puissions aisément manipuler, si on excepte les tabourets « diabolo » en plastique que l'on peut trouver dans es grandes surfaces ) n'a pas jugé bon de lui donner un bord circulaire. On peu déterminer approximativement de centre de gravité de l'objet puis, partant de là, tracer des arcs géodésiques qui rejoignent son bord. Ceux-ci seront les équivalents d'arcs méridiens partant du « pôle » d'une calotte sphérique. L'expérience montre que ces arcs



ne sont pas de longueur constante. Ainsi, pour ajuster vaille que vaille un tronc de négacône sur la négafrite il vous faudra construire le premier avec les cotes indiquées dans la figure du haut, avec un trou central non pas circulaire, mais elliptique.

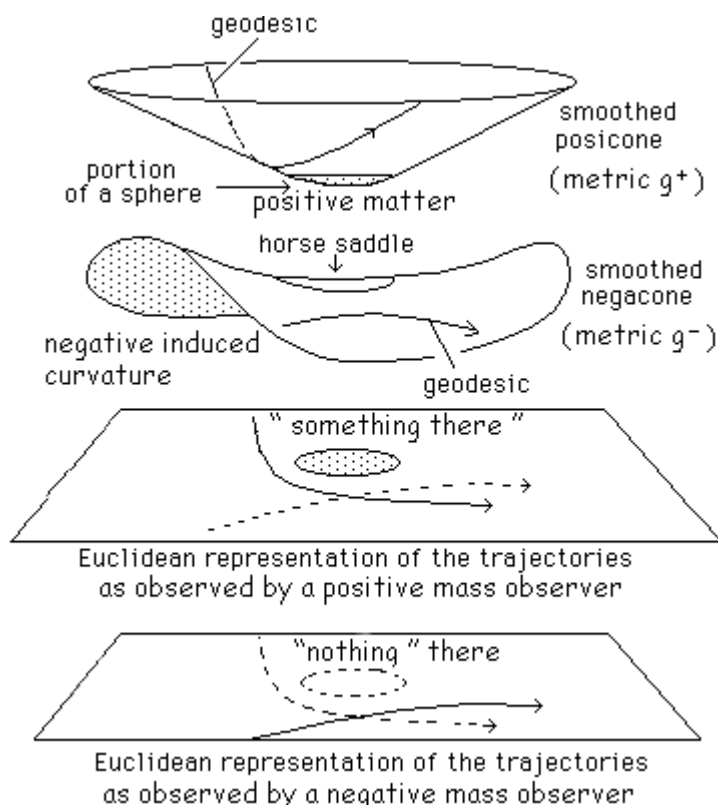
Ces manipulations permettent une évaluation grossière de la courbure négative du négachip :

*Environ  $-22^\circ$*

Cette expérience peut ressembler à un gag, à un épisode extrait d'une bande dessinée d'Anselme Lanturlu. On peut se demander si cette partie a sa place dans une publication scientifique au CITV. Mais l'expérience m'a montré que tout le monde ne voit pas dans l'espace, c'est pas capable de comprendre un dessin 3d en un seul coup d'œil. Dans ces cas-là le recours à l'expérimentation devient un point de passage obligé.

Si quelqu'un trouvait une colle adéquate pour joindre le tronc de négacône à la négachip on pourrait construire, alors beaucoup plus facilement, un posicône émoussé où la calotte sphérique contiendrait une courbure de  $+22^\circ$ . Ces surfaces conjuguées, possédant des courbures locales opposées pourraient être associées comme dans la figure ci-dessous. Si un institut de mathématiques où une structure comme le Palais de la Découverte ( qui hébergea pendant 25 ans la surface de Boy que j'avait fait construire, au centre de sa « salle  $\pi$  » ) pouvait construire cet objet en dur, par exemple en plexiglass, ceci permettrait à des visiteurs munis de ruban adhésif d'inscrire sur ces surfaces conjuguées des géodésiques, puis de les projeter verticalement sur un plan par transparence, les choses deviendraient plus compréhensibles, pour tous ceux qui éprouvent des difficultés la structure 3d d'un objet, à travers un simple dessin 2d.

Cet objet nous permet de comprendre l'association de deux surfaces. La première présente une région à courbure positive constante. Elle est entourée par une portion de surface sans courbure, euclidienne. On dispose en face la surface conjuguée où, point à point, la courbure est opposée.



### Surfaces conjuguées ( à courbures opposées )

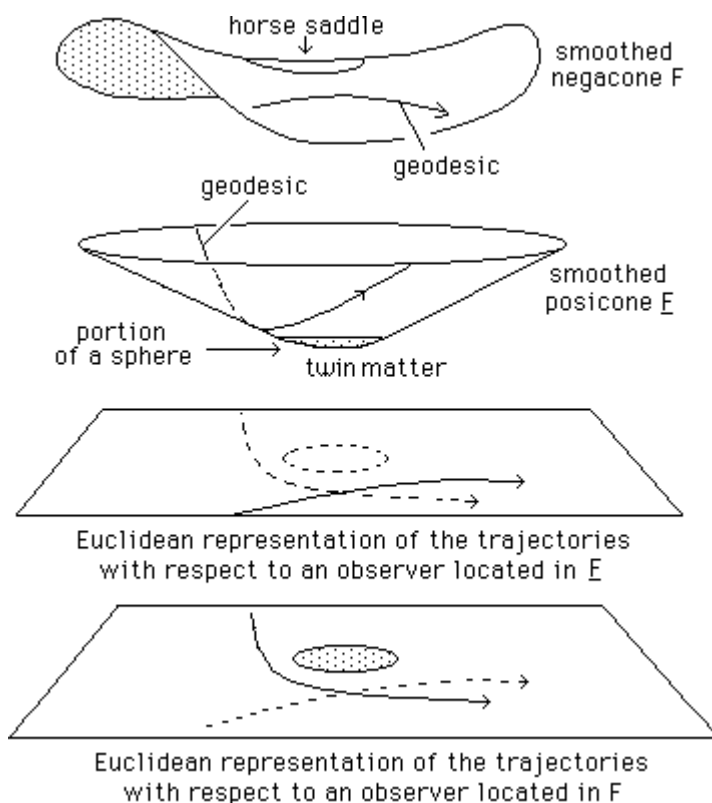
Supposons que la surface du haut corresponde à la métrique  $g^+$ . Pour nous « observateurs euclidiens » les trajectoires de matière que nous pourrions observer nous indiqueront que dans la région grisée se trouve une concentration de masse positive, attractive. A partir de cette métrique nous pouvons calculer le tenseur géométrique  $S^+$  et déduire la métrique  $g^-$  de la relation

(21)

$$S^- = -S^+$$

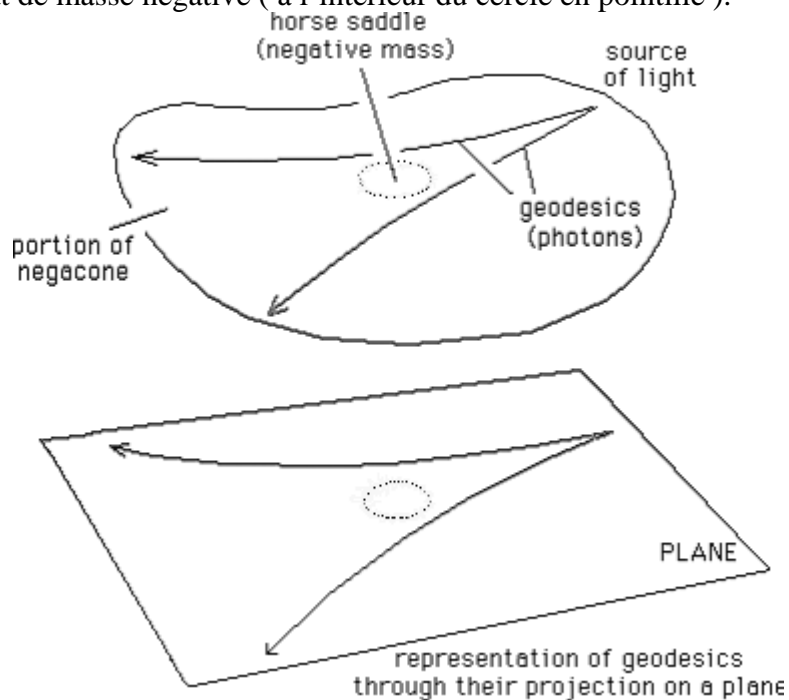
A partir du champ de courbure de la première surface on pourra déduire *le champ de courbure conjuguée* de la seconde.

Nous pouvons maintenant imaginer la situation inverse : que la matière soit cette fois située dans la seconde surface, celle sur laquelle s'inscrivent les trajectoires des particules à énergie négative.



**En bas on a représenté les perceptions dans leur « espace mental euclidien » d'observateurs d'ont l'un est constitué de masse positive et l'autre de masse négative.**

Le dessin ci-après est une illustration de l'effet de negative lensing à la présence (invisible) d'un conglomérat de masse négative (à l'intérieur du cercle en pointillé).



**Negative lensing dû à une concentration invisible de masse négative**

Les images didactiques ne sont en principe nullement nécessaires pour un géomètre aguerri, mais l'expérience montre que même les géomètres ont besoin d'images mentales.

## Références

- [1] J.M.Souriau, Structure des Systèmes Dynamiques, Editions Dunod, 1970. English translation in : Structure of Dynamical Systems, Birkhauser Ed. 1999
- [2] J.M.Souriau : Géométrie et relativité. Hermann Ed. 1964
- [3] A.Sakharov : "CP violation and baryonic asymmetry of the Universe". ZhETF Pis'ma **5** : 32-35 (1967) : Traduction JETP Lett. **5** : 24-27 (1967)
- [4] A.Sakharov : "A multisheet Cosmological Model" Preprint Institute of Applied Mathematics, Moscow 1970
- [5] A.Sakharov : "Cosmological Model of the Universe with a time-vector inversion". ZhETF **79** : 689-693 (1980) : Traduction in Sov. Phys. JETP **52** : 349-351 (1980)
- [6] Linde. Particle Physics and Inflationary Cosmology, Harwood, Switzerland, 1990
- [7] J.P.Petit : "Univers énantiomorphes à flèches du temps opposés", CRAS du 8 mai 1977, t.285 pp. 1217-1221
- [8] J.P.Petit : "Univers en interaction avec leur image dans le miroir du temps". CRAS du 6 juin 1977, t. 284, série A, pp. 1413-1416
- [9] J.P.Petit : Twin Universe Cosmology : Astronomy and Space Science 226 : 273-307, 1995
- [10] J.P.Petit : The missing mass problem. Il Nuovo Cimento B Vol. 109 July 1994, pp. 697-710
- [11] J.P. Petit, P.Midy & F.Landsheat : Twin matter against dark matter. Intern. Meet. on Atrophys. and Cosm. "Where is the matter ? ", Marseille 2001 June 25-29.
- [12] J.P.Petit & G. D'Agostini : "Bigravité. Modèle bimétrique d'univers. 1 – Interprétation du phénomène de l'accélération cosmique». Colloque International sur les Technique Variationnelles, Le Mont Dore, 2007